

В таблице 4 соответственно даны обозначения звезд, разности блеска в синих и желтых лучах и цвета по отношению к звезде d . Карта звезд сравнения приводится на рисунке 2.

Апрель, 1963.

800000 RW-ს ღლექტროპოლოგიუმი დაკვირვები

ი. ძაღლი, 6. გადალაზნი და მ. აბულაძე

(რეზუმე)

კომერიტებული პროგრამით 1962 წლის 22 ნოემბრიდან 1 დეკემბრამდე და 21 დეკემბრიდან 30 დეკემბრამდე დაკვირვებული მეტლის RW -ს, ელექტროფოტომეტრით სპექტრის ორ უბანში. დაკვირვებული მასალა მოცემულია 1 ცხრილში. ჩვენი დაკვირვებების პერიოდში ვარსკვლავმა უჩვენა სიკაშვილის ცვალებადობის ამპლიტუდა $1^m.4$; ამასთან, სიკაშვილის ასეთ მომატებას აღვილი პერიოდი 1962 წ. 24 ნოემბერს და 1963 წ. 20 თებერვალს. ყურადღებას იქცევს 24 ნოემბრის დაკვირვება, როცა ვარსკვლავმა $4-5$ საათის განმავლობაში შეიცვალა სიკაშვილი $0^m.4$ -ით.

ELECTROCOLORIMETRY OF RW Aur

J. J. KUMSISHVILI N. L. MAGALASHVILI and O. P. ABULADZE

(Summary)

Electrophotometric observations of RW Aur in two spectral regions have been carried out according to a cooperative program.

The observed material is given in table I. The star showed the light-variation of an amplitude equal to $1^m.4$. Besides, such increase of brightness took place on November 24, 1962 and on February 20, 1963. The data of November 24 attracts one's attention; then the light-variation reached an amplitude of $0^m.4$ during only $4-5$ hours.

ЦИТИРОВАННАЯ ЛИТЕРАТУРА

- Холопов П. Н. Наблюдения и сводная кривая блеска RW Возничего. Перем. зв. 1955, 10, № 6, 390.

ЗАТМЕННО-ПЕРЕМЕННАЯ ЗВЕЗДА V 502 ЗМЕЕНОСЦА

Н. Л. МАГАЛАШВИЛИ и Я. И. КУМСИШВИЛИ

В последнее время все большее внимание уделяется затменным переменным звездам типа W Большой Медведицы, что можно объяснить между прочим и тем, что у этих звезд, больше чем в других двойных системах, проявляется нестационарность компонентов.

Одну из таких систем — V 502 Змееносца мы наблюдали в 1961 г. Для фотоэлектрических наблюдений она была рекомендована 42-ой Комиссией МАС на X-ом Съезде МАС в 1958 г.

Затменно переменная V 502 Змееносца фотометрически исследовалась С. В. Некрасовой [1] и Кве [2]; последний на основе фотоэлектрических наблюдений установил, что период меняется значительно и определил его текущее значение. Фотоэлектрически эту звезду исследовал также Хиндерер [3], который, применив модель Роша, определил элементы системы. Спектроскопическое исследование V 502 Змееносца принадлежит Струве и Граттон [4].

Мы приступили к наблюдениям звезды в мае 1961 г. и проводили их до июля на звездном электрофотометре Абастуманской астрофизической обсерватории (сурьмяно-цезиевый фотоумножитель, желтый и синий фильтры; эффективные длины волн около $527\text{ m}\mu$ и $381\text{ m}\mu$). Звездами сравнения служили звезды: $BD+0^{\circ}3569$, $BD+0^{\circ}3555$. После определения разности блеска звезд сравнения все наблюдения приведены к звезде $BD+0^{\circ}3569$.

При вычислении фаз мы использовали значение периода, данное в первом дополнении к ОКПЗ (1958). Когда фазы мы вычислили от начальной эпохи, взятой из того же каталога, более глубокий минимум оказался при фазе $0^{\circ}.5$. Поэтому для начальной эпохи мы окончательно взяли определенный на основе наших наблюдений момент главного минимума $M_0=2437436^{\circ}.462$. Таким образом фазы вычислялись по элементам:

$$\text{Min}=2437436^{\circ}.462+0^{\circ}.453396E.$$

В таблице 1 последовательно приведены юлианские гелиоцентрические моменты наблюдений, фазы и разности блеска между звездой сравнения и переменной с желтым и синим фильтрами.

На основе полученных наблюдений построены средние кривые блеска и цвета.

JD_{Θ}	φ	$\Delta m_{\text{ж}}$		$\Delta m_{\text{с}}$		JD_{\odot}	φ	$\Delta m_{\text{ж}}$		$\Delta m_{\text{с}}$	
		p	m	m	-0.174			162	431	0.750	m
2437432.326	0.889	0.374	—	0.374	—	2437440.425	0.136	0.136	—	0.504	—
335	909	427	162	162	—	431	765	160	526	—	—
433-351	149	216	350	350	—	436	776	186	477	—	—
360	169	194	410	410	—	442	789	178	448	—	—
375	202	163	516	516	—	449	809	222	460	—	—
384	222	138	500	500	—	454	816	204	476	—	—
399	255	154	542	542	—	461	833	256	417	—	—
413	286	150	494	494	—	458-311	201	147	532	—	—
421	304	150	476	476	—	317	214	144	518	—	—
430	324	232	455	455	—	324	229	140	492	—	—
438	341	254	394	394	—	332	247	139	502	—	—
446	359	256	320	320	—	340	265	132	492	—	—
455	379	324	252	252	—	346	278	186	480	—	—
462	394	342	228	228	—	352	291	144	506	—	—
469	410	405	168	168	—	358	304	171	488	—	—
434-340	331	250	431	431	—	365	320	217	480	—	—
350	353	264	397	397	—	373	337	221	415	—	—
358	370	347	298	298	—	381	355	288	372	—	—
436-320	698	152	456	456	—	388	370	318	292	—	—
328	715	178	437	437	—	394	384	352	159	—	—
336	733	160	439	439	—	401	399	431	214	—	—
343	744	171	442	442	—	459-308	400	424	148	—	—
349	762	186	461	461	—	319	424	479	058	—	—
356	777	186	455	455	—	324	435	536	055	—	—
371	810	218	393	393	—	331	450	578	+ 0.077	—	—
379	828	192	374	374	—	338	466	631	070	—	—
390	852	268	364	364	—	344	479	592	015	—	—
396	865	296	260	260	—	359	490	598	- 0.074	—	—
410	896	366	154	154	—	365	525	558	070	—	—
417	912	460	105	105	—	372	541	480	106	—	—
425	929	510	026	026	—	378	554	441	171	—	—
435	951	623	+ 0.015	+ 0.015	—	383	565	404	238	—	—
444	971	706	288	288	—	390	580	406	258	—	—
451	987	764	248	248	—	396	594	314	340	—	—
457	000	757	328	328	—	404	611	268	408	—	—
437-318	899	420	- 0.150	- 0.150	—	412	629	302	491	—	—
324	912	471	130	130	—	418	642	235	438	—	—
331	928	547	036	036	—	424	655	200	491	—	—
336	939	606	+ 0.042	+ 0.042	—	431	669	190	494	—	—
342	952	691	074	074	—	436	682	235	452	—	—
348	993	690	114	114	—	442	695	190	442	—	—
354	006	718	212	212	—	489-333	622	280	256	—	—
360	020	726	174	174	—	349	657	224	380	—	—
371	044	700	141	141	—	357	675	234	424	—	—
378	059	588	060	060	—	366	695	222	423	—	—
391	088	476	- 0.190	- 0.190	—	495-310	805	242	428	—	—
397	101	467	214	214	—	318	822	270	314	—	—
408	125	422	109	109	—	326	840	242	344	—	—
418	147	295	370	370	—	333	856	313	362	—	—
440-396	688	174	486	486	—	342	875	320	266	—	—
401	699	141	494	494	—	351	895	392	206	—	—
409	716	146	514	514	—	359	913	556	024	—	—
414	727	170	494	494	—	367	930	558	+ 0.140	—	—
419	708	134	524	524	—					—	—

Объединенные в нормальные точки индивидуальные наблюдения представлены в таблице 2, четвертый и пятый столбцы которой содержат разности цвета переменной и звезды сравнения и количество наблюдений, вошедших в образование нормальной точки.

Таблица 1

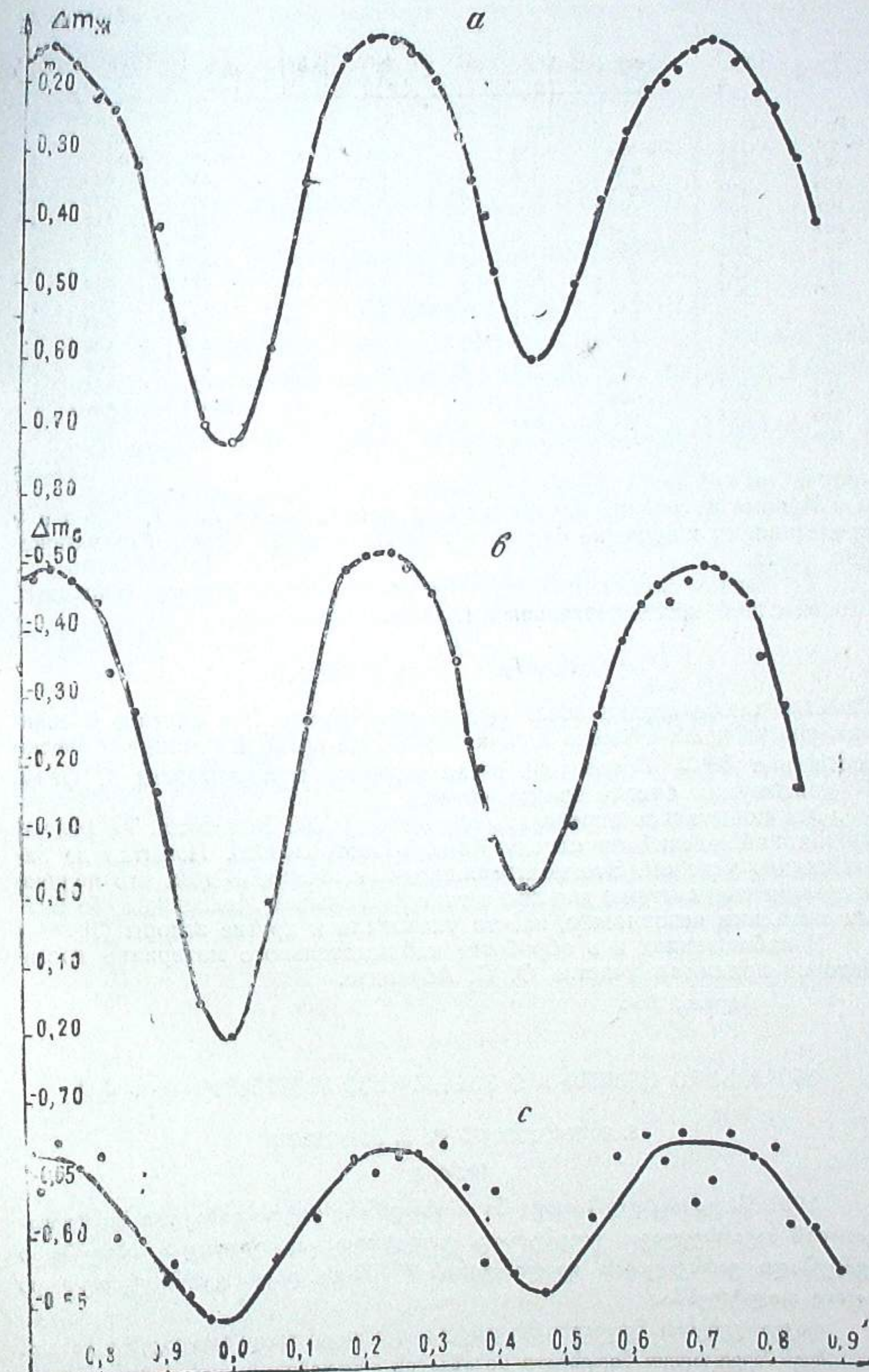


Рис. 1

Таблица 2									
φ	$\bar{\Delta}m_{\text{ж}}$	$\bar{\Delta}m_c$	$\bar{\Delta}C$	n	φ	$\bar{\Delta}m_{\text{ж}}$	$\bar{\Delta}m_c$	$\bar{\Delta}C$	n
p	m	m	m		p	m	m	m	
0.005	0.723	+0.209	-0.514	4	0.621	0.283	-0.385	-0.669	3
064	588	004	584	3	651	220	436	649	3
130	350	-0.261	611	4	678	208	464	672	4
191	168	486	656	3	696	188	440	617	3
222	141	503	644	3	718	159	476	635	5
256	142	512	654	3	744	148	490	671	3
285	158	493	656	3	774	179	473	653	4
320	207	458	665	6	809	222	439	660	4
356	276	355	631	5	831	240	362	602	4
378	341	236	577	3	867	314	285	599	5
398	399	197	629	3	900	404	168	568	4
423	473	094	567	3	916	508	074	582	5
471	601	022	553	4	933	558	+0.052	599	3
540	493	116	609	3	965	696	156	540	4
580	374	279	653	3					

Кривые изменения блеска и цвета приведены на рис. 1, где a и b представляют изменение блеска в желтых и синих лучах, а c —изменение цвета.

На кривых блеска наблюдается смещение вторичного, минимума относительно последовательных главных:

$$T_2 - T_1 - \frac{P}{2} = -0^{\circ}011.$$

Заметна также неодинаковая высота максимумов. Это явление больше заметно на кривой блеска в синих лучах, по которой разница в блеске составляет 0^m02 . Показатель цвета меняется в зависимости от фазы. В максимумах блеска звезда синее.

Мы попытались определить элементы V 502 Змееносца на основе наших наблюдений по методу Копала-Пиотровского. Попытка не закончилась успехом. Это подтверждает заключение о том, что получение элементов системы для звезд типа W Большой Медведицы обычными методами невозможно, на что указывали и другие авторы [3].

В наблюдениях и в обработке наблюдательного материала кроме авторов принимал участие О. П. Абуладзе.

Апрель, 1962.

ბერლინი ცვალებადი ვარსკვლავი გველისმარის V 502

6. მაღალაშვილი და ი. ქუმშიშვილი

(ჩეზუმე)

1961 წ. გაზაფხულ-ზაფხულში აბასთუმნის ასტროფიზიკური ობსერვატორიის საგარსკვლავო ელექტროფოტომეტრით ვაწარმოებდით ბნელებადი ცვალებადი ვარსკვლავის გველისმარის V 502-ის დაკვირვებებს ყვითელ და ლურჯ ფილტრებში.

დაკვირვებების შედეგები მოცემულია ცხრილებისა და გრაფიკების სახით. ჩვენ შევეცადეთ მიღებული სიკამიაშის მრუდების საფუძველზე, კოპალ-პიოტროვსკის მეთოდით, გაგვისაზღვრა ფოტომეტრიული ორბიტის ელემენ-

ტები. ჩვენი ცდა უშედეგოდ დამთავრდა, რაც შეიძლება იმის დადასტურებას ჭარმოადგენდეს, რომ ჩვეულებრივი მეთოდით დიდი დათვის W -ს ტიპის სისტემების (რომელთა ჯგუფსაც მიეკუთვნება გვილიმჭერის V 502) ელემენტების განსაზღვრა შეუძლებელია, რაზედაც ზოგიერთი სხვა ავტორიც მიუთითებდა.

THE ECLIPSING VARIABLE V 502 OPH

N. L. MAGALASHVILI and J. J. KUMSISHVILI

(Summary)

The electrophotometric observations of an eclipsing variable V 502 Oph have been carried out in yellow and blue light in the spring and summer of 1961.

The results of observations are given in the form of tables and diagrams.

We have attempted, on the basis of the light curve having obtained according to Kopal-Piotrovsky method, to determine the elements of photometric orbit. Our attempt gave us no results; this perhaps confirms the fact, that one can't determine the elements of W Ursae Majoris type systems applying general methods. Some other authors also indicate this fact.

ЦИТИРОВАННАЯ ЛИТЕРАТУРА

- Некрасова С. В. Элементы орбиты затменной переменной V502 Oph Астрон. цирк. 1943, № 21.
- Kwee K. K. Investigation of variations in the period of sixteen bright short-period eclipsing binary stars. BAN. 1958 14, 485, 131—191.
- Hinderer F. Lichtelektrische Untersuchungen an W Ursae Majoris—Sternen, J. des Obs. 1960, 43, 11, 161—215.
- Struve O. and Gratton L. Spectrographic observations of the eclipsing binaries RZ Comae, V502 Ophiuchi, RV Corvi and BF Virginis. Aph. J. 1948 108, 3, 497—503.